

ІНСТИТУТ ЯДЕРНИХ ДОСЛІДЖЕНЬ
НАЦІОНАЛЬНОЇ АКАДЕМІЇ НАУК УКРАЇНИ

INSTITUTE FOR NUCLEAR RESEARCH
NATIONAL ACADEMY OF SCIENCES OF UKRAINE

З ониканського
Григорій Григорів
**ЯДЕРНА ФІЗИКА
ТА ЕНЕРГЕТИКА**

**NUCLEAR PHYSICS
AND ATOMIC ENERGY**

т. 14, № 4

НАУКОВИЙ ЖУРНАЛ

Виходить 4 рази на рік

Заснований у березні 1999 р.

Київ 2014

“Ядерна фізика та енергетика” публікує роботи з ядерної фізики, атомної фізики, радіобіології та радіоекології, техніки та методів експерименту. У статті, які є завершеними роботами, що містять нові результати теоретичних та досліджень і становлять інтерес для наукових співробітників, аспірантів, студентів старших курсів вузів.

до друку українською, російською та англійською мовами.

“Nuclear Physics and Atomic Energy” presents the publications on Nuclear Radiation Physics, Radiobiology and Radioecology, Engineering and Methods of includes articles which are completed works containing the new results of researches and are of interest for the scientific collaborators, graduate students, senior students.

for the publication in Ukrainian, Russian and English.

Друкується за постановою вченої ради інституту від 14.01.2014

Редакційна колегія:

I. M. Вишневський

засновника B. Й. Сугаков, B. B. Тришин

заступник B. П. Вербицький

Україна

Україна

Україна

Україна

Київ, Україна

Київ, Україна

Я. I. Колесниченко - Київ, Україна

B. M. Коломієць - Київ, Україна

B. T. Купряшкін - Київ, Україна

Ю. O. Кутлахмедов - Київ, Україна

A. I. Липська - Київ, Україна

L. L. Литвинський - Київ, Україна

P. G. Литовченко - Київ, Україна

I. M. Неклюдов - Харків, Україна

B. M. Павлович - Київ, Україна

B. A. Плюйко - Київ, Україна

G. I. Применко - Київ, Україна

B. M. Пугач - Київ, Україна

A. T. Рудчик - Київ, Україна

B. I. Слісенко - Київ, Україна

B. Ю. Сторіжко - Суми, Україна

R. M. Aleksakhin - Obninsk, Russia

A. S. Barabash - Moscow, Russia

R. Bernabei - Rome, Italy

R. I. Goncharova - Minsk, Belarus

K. B. Kemper - Tallahassee, Florida, USA

A. A. Korsheninnikov - Moscow, Russia

M. Lattuada - Catania, Italy

P. Ring - Garching, Germany

K. Rusek - Warsaw, Poland

S. Shlomo - College Station, USA

A. Sobiczewski - Warsaw, Poland

Засновник і видавець Інститут ядерних досліджень НАН України

державну реєстрацію друкованого засобу масової інформації КВ № 10666 від 24.11.05

“Ядерна фізика та енергетика” входить по переліку наукових фахових видань України

Інформація про видавця:

Інститут ядерних досліджень НАН України,

47, м. Київ, 03680

tel.: (380-44) 525-1456

fax: (380-44) 525-4463

e-mail: interdep@kinr.kiev.ua

Webside: <http://jnrae.kinr.kiev.ua>

ISSN 2074-0565 (Online)

Editor's address:

Institute for Nuclear Research,

National Academy of Sciences of Ukraine,

prospekt Nauky, 47, Kyiv, 03680, Ukraine

tel.: (380-44) 525-1456

fax: (380-44) 525-4463

e-mail: interdep@kinr.kiev.ua

Webside: <http://jnrae.kinr.kiev.ua>

ISSN 2074-0565 (Online)

ЗМІСТ

~~nuclear-mass models*~~

A. Sobiczewski, E. A. Cherepanov.....	317
Reaction in ^{228}Th via two-neutron transfer: Experimental data	
M. Grawaw, R. Hertenberger, P. G. Thirolf, H.-F. Wirth.....	321
Лонное рассеяние ядер ^6Li ядрами $^{12}\text{C}, ^{28}\text{Si}$	
.....	332
о ефекту змішування станів у непарних ядрах на перерізи	
о розсіяння нуклонів	
А. Д. Фурса.....	337
реакцій ($\text{n}, \text{n}'\alpha$) на ядрах рідкоземельних елементів при	
14.7 MeV	
.....	345

ЕНЕРГЕТИКА

~~Model parameters on the characteristics of neutron beams of the~~

V. V. Sushova, V. K. Sakharov, M. V. Shchurovskaya.....	350
Изучение некоторых вопросов безопасности и эффективности	
АЭС риск-ориентированными методами	
М. Камаров.....	356
деятельности Украинского центра INIS	
В. Вишневский, Ж. И Писанко, А. И. Липская,	
М. Куправа, Л. Н. Ламонова.....	363
изотопного состава отработавшего ядерного топлива РБМК-1000	
активации программного модуля SCALE-6	
С. Соловьев, Е. А. Лебедев.....	367

ДІЛІНА ФІЗИКА

Single neutron scattering of multiwalled carbon nanotubes in aqueous	
solutions in presence of laponite platelets or cetyltrimethylammonium bromide	
B. Bulavin, V. S. Savenko, N. I. Lebovka,	
А. А. Куклин, Д. В. Соловьев, О. И. Иванков.....	372
Активация радиационных дефектов в кремни и германии фоновыми	
радиоактивными источниками	
П. Долголенко.....	377

* Далівідь було представлено на 4-й Міжнародній конференції "Актуальні проблеми ядерної фізики та ядерної енергетики", 3 - 7 вересня 2012 р., Київ, Україна.

ІА РАДІОЕКОЛОГІЯ

Іноземні вищі нервової діяльності на стресовий вплив у промінених щурів

Л. Г. Григор'єв, О. Г. Ракочі, В. В. Варецький, В. В. Крушінський..... 384

Вадежность склоновой экосистемы

С. В. Бабак, А. П. Мариношенко, В. А. Канченко, Р. В. Карнаушенко..... 388

Объемной активности аэрозолей во время коммунальной

работы с использованием беспилотного летательного аппарата

С. В. Бабак, А. П. Мариношенко, В. А. Канченко, Р. В. Карнаушенко..... 396

МЕТОДИ ЕКСПЕРИМЕНТУ

Використання резонансного розсіяння протонів для перевірки

гучка електростатичного прискорювача

В. А. Онищук, Е. М. Можжухін, В. А. Савченко, В. А. Голович, І. В. Посмітюх, А. Ф. Шаров..... 404

**Інформація про результати дослідження впливу на здоров'я
показчик - 2013.....** 409

**Інформація про результати дослідження впливу на здоров'я
авторів.....** 410

**Інформація про результати дослідження впливу на здоров'я
авторів.....** 412

РАДІОБІОЛОГІЯ ТА РАДІОЕКОЛОГІЯ

І. В. Матвеєва

Національний університет, Інститут екологічної безпеки, Київ

ЕКОЛОГІЧНА НАДЕЖНОСТЬ СКЛОНОВОЇ ЭКОСИСТЕМЫ

Несмотря на катализмы, которые имеют место в Украине, выводят на первый план проблему радиоактивной безопасности различных типов экосистем. Развиваемая нами теория и модели радиоемкости и надежности позволяют описать закономерности миграции и перераспределения радионуклидов в склоновых экосистемах. Математическое моделирование изучаемого явления, а также дает возможность разрабатывать стратегии и тактику, направленные на снижение радиоактивной опасности.

Ключевые слова: радионуклиды, экологическая емкость, радиоемкость, надежность экосистем.

Вступлення

Современные проблемы радиоэкологии являются проблемой радионуклидов в экосистемах. Особую актуальность она приобрела особенно острой после аварии на ЧАЭС. И хотя прошло уже 27 лет после аварии, ее последствия еще не исчезли. Это проблема природного масштаба, а ее социальные, правовые и моральные аспекты требуют широкого и острого обсуждения в современном обществе [1].

Современная энергетика: возрастают масштабы использования радиоактивных веществ и интенсивность излучения в промышленности, медицине, сельском хозяйстве, на производстве. Нет ни одной отрасли народного хозяйства, в которой или иной форме не используется радиоэнергия.

Современные негативные экологические влияния на экосистемы (аварийных ситуаций, химическими веществами или радионуклидами, нерациональная хозяйственная деятельность, природные катастрофы и т.д.) в последние годы начали активно использовать для оценки риска неблагоприятных последствий. Спецификой экологической опасности является, как правило, неравномерное распределение поллютанта по территории. Уровень риска зависит от распределения опасного фактора (концентрации токсичности, интенсивности радиационного облучения), который может быть постоянным или переменным.

Так, загрязнение почвы любого редкими веществами может быть стационарным в течение времени и не зависеть от переменных условий [2].

Следует отметить, что с этим необходимо обосновать и разработать систему экологических нормативов на различные уровни загрязнения, что позволит

принимать оперативные решения относительно безопасности людей и биоты типичных экосистем Украины и рекомендовать эффективные профилактические и терапевтические контрмеры по защите биоты и населения, которое использует такие экосистемы для проживания, производства и рекреации [3].

Именно этим обусловлена актуальность направления, связанного с разработкой научных основ исследования и оценки экологической емкости и радиоемкости экосистем. Экологическая емкость и радиоемкость экосистемы определяется лимитом поступления поллютантов, в частности радионуклидов, без причинения ощутимого вреда и (или) гибели биоты экосистемы [4, 5].

Условия проживания и хозяйствования на склоновых территориях существенно отличаются от равнинных: спецификой холмистых ландшафтов; развитием и прохождением природных процессов, явлений, не свойственных для равнин, не всегда своевременно предусматриваемых и прогнозируемых; частотой опасных гидрометеорологических ситуаций с катастрофическими последствиями, значительными материальными и моральными потерями [4].

При оценивании радиоэкологической опасности основным (но не единственным) критерием является доза для населения, поскольку по ней можно прогнозировать риск последствий облучения [5].

В условиях существования возможности радионуклидных выбросов и сбросов от ядерных предприятий и радиационных установок принято разрабатывать и использовать специальные контрмеры для защиты населения и окружающей среды от попадания радионуклидов и влияния радионуклидного загрязнения, особенно в склоновых экосистемах. Контрмеры могут применяться локально (непосредственно в месте загрязнения) и масштабно (при загрязнении радионуклидами значительных территорий).

ботке, планировании и оценивать и про-
цесс. Критериями для
контрмер является сте-
пень индивидуальной дозы
и уменьшения коллективной
загрязнения [3].

– установление и иссле-
дование особенностей процесса ми-
грации радионуклидов в типичных склоновых
экосистемах; математическое модели-
рование. Это дает возмож-
ность и подходы для контроля,
радиоэкологической безо-
пасности склоновых экосистем;
возможность эффективно-
го применения контрмер.

– построение и анализ
моделей динамики процесса ми-
грации радионуклидов по
склоновых экосистемам,
иности этих процессов.

Материалы и методы

данные об особенностях рас-
пределения радионуклидов
в склоновых экосистемах Украины,
результате аварии на ЧАЭС.

использованы литературные сведе-
ния и данные натурых исследова-
ний. Перераспределения ^{137}Cs в скло-
нах, типичных для территории
Украины, использован модифицированный
модели для моделирова-
ния радиоактивных процессов в склоновых
экосистемах. Разработан и реализован метод
оценки параметров камерных моделей
экосистем Украины по данным мони-
торинга. Применялись модели разного типа экосистем,
расчитывали параметры надежно-
сти склоновой экосистемы по их способности
удерживать радионуклиды. Для описания радио-
активных процессов в склоновых экосистемах
использовали многокамерные модели.

Построение радиоэкологических моделей в склоновых экосистемах

Построения нами была избрана типичная склоновая экосистема с залповой аварией радиоактивного загрязнения и выпадением склоновую экосистему [3].

Выбран типичную склоновую экосистему, состоящую из девяти камер: камера лес, камера опушка, камера луг, камера терраса, камера пойма,

камера вода, камера биота, камера донные отложения, камера люди (рис. 1).

Взаимодействие между камерами в модели задается с помощью коэффициентов перехода радионуклидов из одной камеры в другую за единицу времени, например, a_{67} – коэффициент перехода радионуклидов из камеры биота в камеру вода (доля радионуклидов в камере биота, которая переходит в камеру вода за единицу времени). Данные коэффициенты рассчитаны по реальным данным мониторинга в 30-километровой зоне ЧАЭС, где есть похожий прототип склоновой экосистемы на берегу р. Уж. Они зависят от крутизны склона, характера покрытия (лес, трава и т.д.), типа почвы (чернозем, дерново-подзолистый, серый-лесной), объема стока, температуры воздуха, направления и силы ветра и других метеорологических параметров.

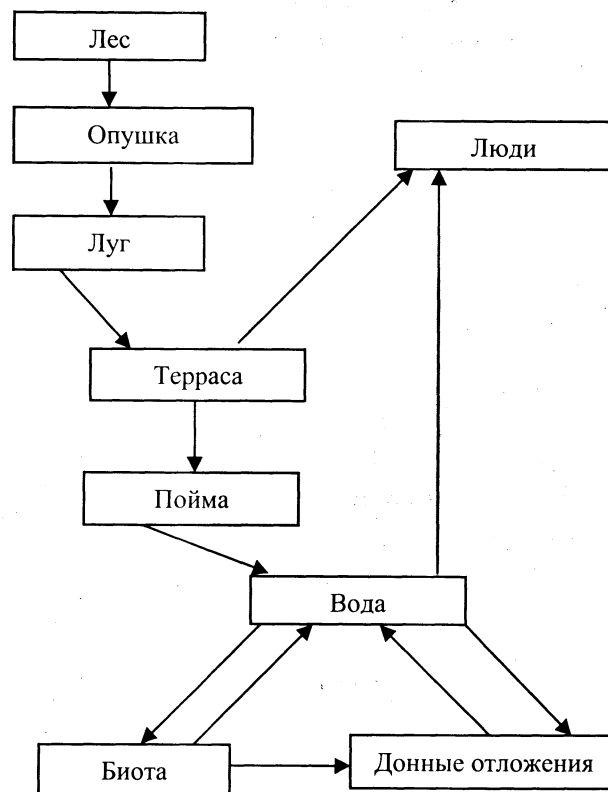


Рис. 1. Блок-схема типовой склоновой экосистемы.

Перенос радионуклидов из одной камеры в другую происходит по законам кинетики первого порядка. Для исследования миграции радионуклида ^{137}Cs составлена система обыкновенных дифференциальных уравнений первого порядка с постоянными коэффициентами, каждое из которых характеризует определенную камеру (с учетом распада радионуклида для всех камер, кроме камеры люди; дело в том, что распад радионуклидов в камере люди, фактически и составляет режим формирования дозы облучения).

(выпас животных) и имеет относительно слабое покрытие (трава), поэтому доля переноса радионуклида ^{137}Cs , по нашим оценкам, будет составлять от 10 до 20 % от запаса радионуклидов на лугу.

4) a_{54} – параметр, характеризующий скорость перехода радионуклида ^{137}Cs из камеры *терраса* в камеру *пойма*.

Сельскохозяйственная терраса, которая получает радионуклиды, – это зона активной аграрной деятельности, поэтому перенос радионуклидов на пойму уже будет немного большим и составит от 10 до 30 % от запаса радионуклидов на террасе.

5) a_{49} – параметр, характеризующий скорость перехода радионуклида ^{137}Cs из камеры *терраса* в камеру *люди*.

Человек активно использует аграрную террасу для получения продуктов питания растительного и животного происхождения. Известно, что на сельскохозяйственных угодьях потеря радионуклидов ^{137}Cs может составить от 20 до 60 % от их запаса на аграрной террасе (кормовые травы, как правило, имеют высокие коэффициенты накопления).

6) a_{86} – параметр, характеризующий скорость перехода радионуклида ^{137}Cs из камеры *вода* в камеру *донные отложения*.

Моделирование радиоемкости озерных экосистем показало, что от 40 до 80 % запаса радионуклидов в воде осаждается в донных отложениях.

7) a_{68} – параметр, характеризующий скорость перехода радионуклида ^{137}Cs из камеры *донные отложения* в камеру *вода*.

Известно, что обратная десорбция на порядок меньше и составляет от 4 до 10 % [3].

8) a_{76} – параметр, характеризующий скорость перехода радионуклида ^{137}Cs из камеры *вода* в камеру *биота*.

Биота при ее достаточной массе в озере может аккумулировать от 30 до 70 % запаса радионуклидов в воде, благодаря большим коэффициентам накопления (от 1000 и больше).

9) a_{67} – параметр, характеризующий скорость перехода радионуклида ^{137}Cs из камеры *биота* в камеру *вода*.

Обратная миграция происходит на порядок медленнее и составляет от 3 до 7 %.

10) a_{87} – параметр, характеризующий скорость перехода радионуклида ^{137}Cs из камеры *биота* в камеру *донные отложения*.

Этот параметр характеризует процесс отмирания биомассы озера. Биомасса в виде детрита

(1)

$$= 0,05v(t) + 0,07p(t) - 1,23n(t),$$

$$- 0,13o(t),$$

$$+ 0,6n(t) - 0,1p(t),$$

$$+ 0,1n(t).$$

изменения параметров системы уравнений, которые описывают радионуклида ^{137}Cs в экосистеме.

Параметр, характеризующий скорость перехода радионуклида ^{137}Cs из камеры *лес* в камеры

данного параметра были использованные многолетнего мониторинга, что лес может терять от 1 до 10 % радионуклида за год. Для камеры *лес* характерный сброс радионуклидов вниз

параметры характеризуются постепенным накоплением радионуклида в течение пиковых значений и постепенным снижением их содержания.

Параметр, характеризующий скорость перехода радионуклида ^{137}Cs из камеры *опушка* в

натурных данных установлено, что радионуклид переносится на луг в количестве 10 % запаса радионуклидов на опушке.

Значение этого параметра, по сравнению с a_{21} , связано с другим параметром – крутизной склона, характером стока.

Параметр, характеризующий скорость перехода радионуклида ^{137}Cs из камеры *луг* в камеры

характеризуется зоной антропогенного влияния

отложениях и составляющей всей биоты озера.

Характеризующий склон радионуклида ^{137}Cs из камеры

установлено, что передается в воду озера во время от 20 до 40 % от запаса.

Характеризующий склон радионуклида ^{137}Cs из камеры прежде всего через использование растений на террасе

вода радионуклидов из камеры браны средние значения

1).

Расчет и оценки значений коэффициента перехода радионуклидов из камеры в исследуемой склоновой экосистеме

№	Средние	Максимальные
1	0,03	0,05
2	0,1	0,15
3	0,15	0,2
4	0,2	0,3
5	0,3	0,4
6	0,05	0,07
7	0,07	0,1
8	0,5	0,7
9	0,6	0,8
10	0,05	0,07
11	0,4	0,6
12	0,15	0,15

Причины негативного влияния радионуклидов загрязненных территориях необходимо учесть защитные контрмеры. Нами определен критерий эффективности контрмер для дозовой нагрузки на популяцию

Эти контрмеры применяются в населенных пунктах на севере Украины, в Ровенской области. Результаты показывают о необходимости постоянного контроля за радиологической обстановкой в регионе и коррекции мер по снижению дозовой нагрузки для населения. Оценка экономических и экологических факторов формирования дозовых нагрузок для населения региона может резко обострить радиационную и радиологическую ситуацию. Без контроля и оперативного использо-

вания контрмер можно ожидать значительного ухудшения радиологической ситуации.

Одним из направлений разработки контрмер могут быть решения, которые способны управлять распределением и перераспределением радионуклидов в реальных ландшафтах. Как было сказано выше, основные процессы перераспределением радионуклидов происходят в склоновых экосистемах на водосборных площадях рек, болот и т.п. Таким образом, существует необходимость в создании специальной системы контрмер, которые способны ограничивать миграцию радионуклидов по склонам и, тем самым, уменьшать экологическую опасность таких территорий [4].

В рассматриваемой типичной склоновой экосистеме, состоящей из девяти камер, нами оценены такие контрмеры.

1. Построение подпорных стенок между камерами. Построение каменной (бетонной) стены в почве на достаточную глубину, чтобы остановить жидкий и твердый стоки (эррозию), и таким образом минимизировать миграцию радионуклидов в нижележащие элементы склонового ландшафта.

2. Построение дорог. Дороги, заасфальтированные или бетонные, за счет твердого покрытия и кюветов могут замедлять и переправлять стоки поллютантов. Это может быть использовано как один из вариантов выбора контрмер для уменьшения дозовой нагрузки на людей.

3. Комбинированный метод – «подпорная стенка» и «дорога». Для моделирования и выбора оптимальной контрмеры был рассмотрен комбинированный метод. Результаты моделирования позволяют выбрать наиболее эффективную контрмеру.

Оптимальным вариантом среди рассмотренных контрмер является тот, который предусматривает размещение подпорной стенки и дороги между опушкой и лугом. В этом случае дозовая нагрузка для людей уменьшится до 4 % от запаса (вместо 22 %). Общую картину по эффективности применения оптимальной контрмеры представлено в табл. 2. В скобках для сравнения приведены данные моделирования без применения контрмер. Видно, что уменьшение содержания радионуклидов наблюдается не только в камере люди, но в камерах пойма, вода, биота и донные отложения.

Расчет показал, что с увеличением скоростей перемещения радионуклида по склону увеличиваются и оценки значений коллективных (от $3,0 \cdot 10^3$ до $2,14 \cdot 10^4$ чел.-Зв) и индивидуальных (от 0,75 до 6 мЗв в год) доз облучения. Влияние

— изменение скоростей
— прогноз распределения радиоактивной дозы при
— склоновой экосистеме в пунктах, где проживает
— в табл. 3.

— радионуклидов в камерах
— зоны между террасой
— склоновой

Максимальное содержание радионуклидов, %	Время, годы
(12)	12 (12)
(6)	18 (20)
(1,4)	21 (20)
(0,82)	24 (24)
(0,32)	32 (30)
(1,16)	41 (44)
(2,3)	44 (48)
(22)	60 (80)

Таблица 3. Распределение коллективной и индивидуальной доз при разных случаях загрязнения склоновой экосистемы

Элемент исследуемой экосистемы	Минимальная скорость переходов			
	1	5	10	40
Чистая доза в лесу, Ки	1	5	10	40
Чистая доза, чел.-Зв	$8,14 \cdot 10^1$	$4,07 \cdot 10^2$	$8,14 \cdot 10^2$	$3,256 \cdot 10^3$
Чистая доза, Зв	0,01628	0,814	1,628	6,512
Средняя скорость переходов				
Чистые радионуклиды в лесу, Ки	1	5	10	40
Чистая доза, чел.-Зв	$1,628 \cdot 10^2$	$8,14 \cdot 10^2$	$1,628 \cdot 10^3$	$6,512 \cdot 10^3$
Чистая доза, Зв	0,3256	1,628	3,256	13,024
Максимальная скорость переходов				
Чистые радионуклиды в лесу, Ки	1	5	10	40
Чистая доза, чел.-Зв	$2,442 \cdot 10^2$	$1,221 \cdot 10^3$	$2,442 \cdot 10^3$	$9,768 \cdot 10^3$
Чистая доза, Зв	0,4884	2,442	4,884	19,536

что показатель фактора надежности экосистемы по трассеру определяет собой его надежности как фактора транспорта радионуклидов по данной экосистеме. Что фактор радиоемкости определяет вероятность каждого элемента экосистемы удерживать постукивание. Если представить экосистему как систему транспорта радионуклидов от источника к человеку, то есть основавшийся на факторе радиоемкости как факторе различных составляющих экосистемы. Это допущение позволяет использовать развитой аппарат теории систем. Показано, что в терминах надежности — фактор радиоемкости экосистемы может быть рассмотрен

Графическое решение предложенной модели для камеры люди показано на рис. 2.

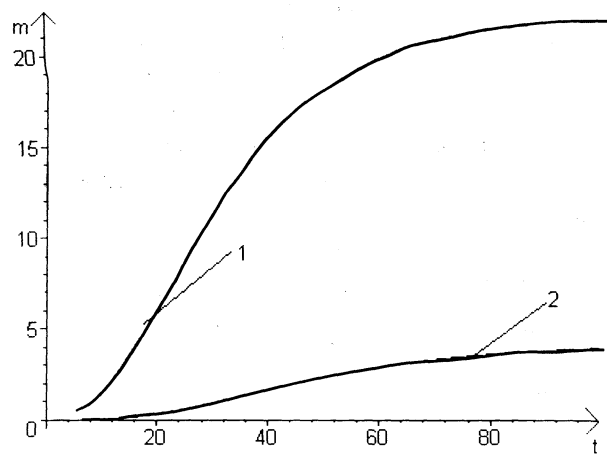


Рис. 2. График накопления радионуклидов для камеры люди: 1 — без применения контрмер; 2 — с применением двух контрмер.

$$F_j = \sum a_{ij} / (a_{ij} + \sum a_{ji}), \quad (2)$$

где $\sum a_{ij}$ — сумма скоростей перехода поллютантов и трассеров из разных составляющих экосистемы в конкретный элемент экосистемы j , согласно камерным моделям, а $\sum a_{ji}$ — сумма скоростей перехода поллютантов и трассеров из исследуемой камеры J в другие составляющие экосистемы, которые сопряжены с ними [5].

Используя средние значения скоростей переходов между камерами (см. табл. 1), по формуле (2) можно оценить надежность удержания радионуклидов в каждом из элементов склоновой экосистемы и надежность всей склоновой экосистемы по ее способности удерживать радионуклиды и минимизировать их поступление к человеку. Надежность склоновой экосистемы может быть рассчитана как последовательная система элементов ландшафта (табл. 4).

Надежность удержания ^{137}Cs в склоновой экосистеме	
вероятность способности	0,94
удержания радионуклида	0,12
в верхней части склона	0,36
в лесу	0,19
при ограниченном землепользовании	0,38
человеком	0,25
дозовых нагрузок	0,87
для людей	0,79
в целом	$5 \cdot 10^{-4}$

Надежность склоновой экосистемы определяющей способностью к удержанию радионуклида и надежностью камеры означает, что радионуклидов в склоновой экосистеме будет не более 0,05 %. Надежность склоновой экосистемы означает популяции любые экосистемы, относительную нагрузки.

Следует подчеркнуть, что данный анализ проведен нами для условий, когда практически все радионуклидное загрязнение сосредоточено в верхней части склона, в лесу, при ограниченном землепользовании человеком данной склоновой экосистемы. В условиях, когда возможны загрязнения всех элементов экосистемы и активное использование экосистемы человеком, дозовые нагрузки для людей при использовании такой склоновой экосистемы будут, по нашим оценкам, примерно в 100 раз выше. Тогда в формировании дозовых нагрузок для людей могут принимать участие 5 % и более из всего запаса радионуклидов в экосистеме.

Используя формулу (2), был проведен расчет надежности транспорта радионуклидов по склоновой экосистеме. В расчетах были использованы собственные и литературные данные. Предположим, что в лесу лежит запас радионуклида ^{137}Cs в 1 Ки. Параметры озера: $S = 1 \text{ км}^2$, $H = 5 \text{ м}$, $V = 5 \cdot 10^9 \text{ л}$; параметры донных отложений: $S = 1 \text{ км}^2$, $h = 0,1 \text{ м}$, $K_H = 1000$. Расчеты проведены без применения (табл. 5) и с учетом избранных контрмер (табл. 6). В таблицах сделаны оценки надежности сброса радионуклида в сопряженную камеру экосистемы: расчет вероятности сброса делается путем вычитания из единицы надежности удержания радионуклида в соответствующей камере экосистемы.

Надежность типичной склоновой экосистемы как системы транспорта ^{137}Cs к озеру и к человеку (без контрмер)

Надежность удержания радионуклида	Комментарии
0,94	
0,12	Загрязнения воды ожидается с вероятностью $1 \cdot 2 \cdot 3 \cdot 4 \cdot 5 \cdot 6 = 1,5 \cdot 10^{-3}$. Это означает, что содержание цезия в воде составляет всего $1,1 \cdot 10^{-2} \text{ Бк/л}$
0,36	Загрязнение донных отложений в озере ожидается с вероятностью $1 \cdot 2 \cdot 3 \times 4 \cdot 5 \cdot 6 = 9 \cdot 10^{-3}$. Это означает, что содержание цезия в донных отложениях составляет $3,3 \text{ Бк/л}$
0,19	При $K_H = 1000$ содержание цезия в биоте донных отложений составляет 3300 Бк/кг. Тогда по отношению к предельной дозе 4 Гр/год (600 кБк/кг) допустимый уровень загрязнения леса составляет 182 Ки
0,38	
0,25	
0,87	
0,79	Люди получают от воды озера и продукции террасы радионуклиды с вероятностью $5,4 \cdot 10^{-3}$. При этом загрязнение травы на террасе составляет около 5 Бк/кг. Допустимый уровень загрязнения кормовой травы составляет 1000 Бк/кг. При этом уровень загрязнения молока ожидается в 100 Бк/л. Тогда по молоку допустимый уровень загрязнения леса по запасу радионуклидов не превышает 200 Ки
0,5	

используем далее параметр K_d как обобщенный коэффициент дезактивации – во сколько раз уменьшается дозовая загрузка, уровень загрязнения или во сколько раз может происходить

снижение скорости перехода радионуклидов между камерами благодаря особенностям их миграции или вследствие использования контрмер.

**Надежность типовой склоновой экосистемы как системы транспорта ^{137}Cs
к озеру и к человеку (при участии контрмер)**

Контрмеры		
Следа между лесом и опушкой; $K_d = 2$ (исходный)	Подпорная стенка в почве между террасой и поймой; $K_d = 2$ (исходный)	Влияние всех контрмер одновременно
-	0,029	0,02
-	0,83	0,4
-	0,6	0,6
(к человеку 0,4)	0,57 (к человеку)	0,12
-	0,1	0,1
-	0,33	0,33
-		0,1
-	0,77	0,72
-	0,5	0,5
$8,7 \cdot 10^{-4}$ K_d (конечный) = 5,6	$8,7 \cdot 10^{-4}$ K_d (конечный) = 1,7	$5,8 \cdot 10^{-5}$ K_d (конечный) = 25,9

что применение контрмер
изменить величину сброса радио-
активной склоновой экосистеме,
степени контрмер снижать скоро-

вения радионуклидов между камерами. В

использован подход, когда

задается через уменьшение

сброса радионуклидов между камерами
типовской склоновой экосистемы.

Выводы

и построена математическая
экосистем с оценкой перерас-
пределения радионуклида и формирования дозо-
вого населения на долгосрочный пе-
риод пригодна для моделирования
такого типа экосистем Украины.

расчетам на моделях показано,
что параметров камерных мо-
делий формирование дозо-
вого населения может быть заметным.

Такая ситуация требует прогноза и контроля с
разработкой и использованием контрмер с целью
обеспечения экологической безопасности исследо-
ванием территорий.

3. Разработанный нами подход по данным
мониторинга и моделирования позволяет уста-
навливать базовые характеристики и параметры
камерных моделей склоновых экосистем.

4. Разработанные и использованные в иссле-
довании математические модели радиоемкости
и надежности имеют универсальный характер,
после привязки к конкретным натурным услови-
ям других типичных экосистем могут быть по-
лезными для оценки, контроля и прогноза их
экологической безопасности как для радионук-
лидного загрязнения, так и для других поллю-
тантов.

5. Примененный в работе метод может быть
эффективно использован для анализа и расчета
надежности разного типа экосистем по их спо-
собности удерживать и управлять потоками ра-
дионуклидов.

СПИСОК ЛИТЕРАТУРЫ

- 1. Ю.А., Поликарпов Г.Г., Корогодин
и и методы оценки радиоемкости
систем // Эвристичность радиобио-
логии. - К.: Думка, 1998. - С. 109 - 115.
- 2. Ю.А., Войцыцкий В.М., Хижняк С.В.
и учебник. - К.: КГУ, 2011. - 572 с.
- 3. Ю.А., Матвеева И.В., Петрусенко
и. Радиоэкология. - К., 2011. - 182 с.
- 4. Ю.А., Гродзинский Д.М., Михеев А.Н.,
и. Методы управления радиоемкостью. -
К., 2012. - 172 с.
- 5. Матвеева И.В. Исследование и оценка надежности
систем транспорта радионуклидов в локальной
агроэкосистеме // Наукові праці. - 2013. - Т. 203,
вип. 191. - С. 81 - 84.
- 6. Кутлахмедов Ю.А., Матвеева И.В., Родина В.В.
Анализ и исследование надежности экосистем на
примере склоновых экосистем // Радиоактивность
и радиоактивные элементы в среде обитания чело-
века: IV Междунар. конф. (4 - 8 июня, 2013,
Томск). - С. 318 - 321.